

10

©1993 г.

**ИНЖЕКТОР ЭЛЕКТРОНОВ  
ДЛЯ УСКОРИТЕЛЬНО-НАКОПИТЕЛЬНОГО КОМПЛЕКСА  
ИЯИ АН УКРАИНЫ**

*A. В. Жмендак, С. Н. Павлов*

Рассматривается работа электронной пушки системы электронного охлаждения в ускорительно-накопительном комплексе тяжелых ионов. Определены необходимые значения углового разброса пучка электронов в цикле накопления и при проведении ядерно-физического эксперимента. Численно исследовано влияние на эту величину геометрических параметров пушки. Определена ее оптимальная конструкция.

1. В настоящее время в нашей стране планируется создание ряда ускорительно-накопительных комплексов с электронным охлаждением, в том числе в Институте ядерных исследований АН УССР [1]. Ожидается, что эти установки дадут качественно новые возможности в исследованиях по ядерной и атомной физике.

Разрабатываемый в ИЯИ АН УССР комплекс рассчитан на получение тяжелых ионов (до неона включительно) с энергией до 200 МэВ/нуклон. Инжектором будет служить имеющийся изохронный циклотрон У-240. В выполненных ранее расчетах [2] были определены основные физические параметры системы электронного охлаждения. В настоящей работе более подробно обсуждаются требования к поперечно-му угловому разбросу скоростей электронного пучка. Определена конструкция электронной пушки.

2. Так же как в существующих и проектируемых установках, в нашем комплексе цикл накопления ионов будет проводиться с участием электронного охлаждения [1]. После заполнения одного или нескольких оборотов кольца система инъекции выключается. При помощи вспомогательного ВЧ резонатора ионы тормозятся и, потеряв  $\sim 1\%$  энергии, уходят на внутреннюю орбиту. Затем пучок охлаждается и тем самым освобождается фазовый объем для новой порции частиц. Это позволяет "обойти" теорему Лиувилля и накапливать в кольце  $10^9 - 10^{10}$  ионов при относительно небольшой интенсивности инжектора. В этом процессе лимитирующий по времени стадией является электронное охлаждение. Его эффективность определяется рядом факторов, которые для нашего случая рассмотрены в работе [2]. Проектирование же пушки, которая

по техническим условиям эксперимента погружена в продольное магнитное поле с индукцией  $B = 0.1 - 0.3$  Тл [2], сводится к обеспечению достаточно малого разброса и необходимого тока пучка электронов. Как показано в работе [2], существует оптимальное значение последней величины  $I = v_0 U \sqrt{2\varepsilon/\beta_e}$ , обеспечивающее максимальный темп охлаждения. Здесь  $U$  — ускоряющее напряжение в инжекторе электронов,  $v_0$  — продольная скорость электронов,  $\beta_e$  — бета-функция на участке охлаждения,  $\varepsilon$  — эмиттанс ионного пучка. При этом предполагалось, что радиусы электронного  $r$  и ионного  $\sqrt{\varepsilon\beta_e}$  пучков равны. Полагая согласно [1],  $\varepsilon \simeq 30\pi \text{ мм} \cdot \text{мрад}$ ,  $\beta_e \simeq 4$  м, получаем  $r \simeq 1$  см. Если по каким-либо причинам (см. ниже) необходимо использовать более толстый электронный пучок, то приведенную выше формулу следует привести к виду

$$I \simeq v_0 U r^2 \sqrt{2/(\varepsilon\beta_e^3)}. \quad (1)$$

Отметим, что это выражение соответствует электронной пушке с постоянным первенсом, так как  $I \sim U^{3/2}$ .

Условие достаточно малого углового разброса скоростей электронов связано с необходимостью реализации так называемого адиабатического режима ион-электронных столкновений, когда поперечные степени свободы электронов оказываются выключенными из рассмотрения [3]. Для этого требуется, чтобы поперечный разброс скоростей электронов  $v_\perp^*$  не превышал значений  $3 - 4 \cdot 10^7$  см/с [4]. При больших  $v_\perp^*$  декремент затухания бетатронных колебаний (величина, обратная времени охлаждения) быстро спадает. Полное значение поперечной скорости электронов складывается из следующих величин:  $v_\perp^* = v_T + v_L + v_D$ ,  $v_T$  представляет собой тепловую скорость электронов, эмиттируемых катодом. Обычно эта величина составляет  $1 - 2 \cdot 10^7$  см/с (оксидный термокатод).  $v_D = 2Ic/(rv_0B)$  — скорость дрейфа электронов в скрещенных магнитном и электрическом полях собственного пространственного заряда пучка ( $c$  — скорость света);  $v_L$  — добавочная скорость электронов, которую они получают из-за несовершенства оптики электронной пушки. Приведенные выше значения  $v_T$  могут быть уменьшены в случае понижения рабочей температуры катода. В частности, это достигается путем применения фотокатодов, инициируемых лазерным излучением [5]. Однако разработка такого рода инжекторов находится в настоящее время на начальной стадии. Поэтому при проектировании электронной пушки необходимо обеспечить значения  $v_\perp = v_L + v_D$  на уровне  $1 - 2 \cdot 10^7$  см/с, так чтобы  $v_\perp + v_T = v_\perp^* \leq 3 - 4 \cdot 10^7$  см/с. С практической точки зрения более удобно использовать величину углового разброса электронного пучка  $\alpha = v_\perp/v_0$ . Так как на участке охлаждения продольные скорости электронов и ионов должны быть равны, то желаемые значения  $\alpha$  будут зависеть от энергии и массы инжектируемых ионов. Минимально возможные величины углового разброса определяются током пучка электронов  $\alpha_m \simeq v_D/v_0$ . Расчетные значения  $I$ ,  $\alpha_g$ ,  $\alpha_m$  приведены в табл. 1.

3. Рассмотрим требования к электронному пучку при проведении ядерно-физического эксперимента. Когда цикл накопления завершен, сжатый и охлажденный пучок ионов ускоряется ВЧ резонатором до необходимой энергии. Его поперечные размеры определяются электростатическим взаимодействием ионов в поперечном направлении. Послед-

Таблица 1.

Ион	$\text{P}^+; {}^3\text{He}^{2+}$	$\text{O}^+; {}^4\text{He}^{2+}$	${}^{14}\text{He}^{4+}$	${}^{12}\text{C}^{3+}; {}^{16}\text{O}^{4+}; {}^{20}\text{Ne}^{5+}$
$W_i$ (МэВ/н)	50	25	10	5.5
$W_e$ (кэВ)	26	14	5.4	3
$I$ (А)	1.9	0.77	0.19	0.08
$\alpha_g$ (мрад)	2.2	2.9	4.6	6.1
$\alpha_m$ (мрад)	2.6	1.9	1.2	0.9

Примечание.  $W_i$  — энергия инжектируемых ионов,  $W_e$  — энергия электронного пучка. Радиус электронного пучка  $r = 1.5$  см [2].

нее приводит к ослаблению действия фокусирующих элементов накопительного кольца и сдвигает частоты бетатронных колебаний к опасным „машичным“ резонансам, что ограничивает сжатие пучка пределом [6]

$$\varepsilon_0 \gtrsim \frac{r_p R_0 (N/l)}{2\gamma^3 \Delta\nu (v_0/c)^2},$$

где  $\varepsilon_0$  — минимальный эмиттанс пучка,  $R_0$  — средний радиус накопителя,  $N/l$  — число ионов на единицу длины пучка,  $r_p$  — классический радиус протона,  $\gamma$  — релятивистский фактор,  $\Delta\nu$  — разность частот бетатронных колебаний в рабочей точке синхронизатора (накопительного кольца) и в ближайшем к ней „машичном“ резонансе.

Используя данные работы [1], несложно вычислить, что в нашем случае диаметр охлажденного пучка не будет превышать 3 мм.

Во время проведения ядерно-физического эксперимента ускоренные частицы рассеиваются на атомах сверхтонкой мишени. В результате этого пучок уширяется. В случае, когда превалирует процесс ионизационных потерь энергии для расчета скорости нарастания среднеквадратичного импульса ионов  $\Delta p^2$ , можно использовать известное соотношение [7]

$$\frac{d(\Delta p^2)}{dt} = \frac{8\pi e^4 n L}{v_0}.$$

Здесь  $e$  — заряд электрона,  $n$  — концентрация рассеивающих электронов,  $L$  — кулоновский логарифм ион-электронных столкновений. Для нашего случая его следует привести к виду

$$\frac{d(\Delta p^2)}{dt} \simeq \frac{8\pi e^4 Z_t n_t Z_i^2 L}{v_0} \frac{\beta_t l_t}{\beta_e \Pi},$$

где концентрация рассеивающих электронов  $n = Z_t n_t$ ;  $Z_t$ ,  $n_t$  — атомное число и плотность мишени;  $Z_i$  — кратность заряда;  $\beta_t = 0.9$  м — бета-функция на мишени;  $\Pi$  — периметр кольца;  $l_t$  — длина мишени.

Средний разброс импульса ионного пучка  $\langle (\Delta p^2) \rangle$ , определяемый балансом рассеивающего действия мишени и электронного охлаждения, по

порядку величины составит

$$\langle(\Delta p^2)\rangle = \frac{d(\Delta p^2)}{dt} \tau_e,$$

где  $\tau_e$  — время электронного охлаждения.

Для  $\tau_e$  используем выражение [6]

$$\tau_e^{-1} = \frac{4\pi e^4 Z_i^2 n_e l_e L}{M m v_0^3 \Theta^3 \Pi},$$

где  $n_e$  — плотность пучка электронов;  $l_e$  — длина участка охлаждения;  $M, m$  — масса иона и электрона;  $\theta$  — угловой разброс ионного пучка.

Вычислив  $\langle(\Delta p^2)\rangle$ , несложно показать, что уширение ионного пучка на участке электронного охлаждения составит величину

$$\Delta r \simeq \sqrt{\frac{2Z_t n_t l_t \beta_t \beta_e m \Theta^3}{M n_e l_e}}.$$

В первом приближении будем считать, что  $\tau_e$  определяется угловым разбросом ионного пучка  $\Theta_0$ , которое достигается после его сжатия в цикле накопления, когда мишень еще не включена. Взяв для оценок  $\Theta_0 = \sqrt{\varepsilon_0/\beta_e} \simeq r_i/\beta_e$ , где  $r_i \leq 1.5$  мм — радиус охлажденного пучка, получаем  $\Delta r \leq 10^{-2}$  см. Здесь принято  $n_t l_t \simeq 10^{14}$  см<sup>-2</sup>,  $Z_t \simeq 90$ ,  $n_e \simeq 4 \cdot 10^8$  см<sup>-3</sup>,  $l_e = 3$  м. Таким образом, ионизационные потери будут практически полностью подавлены электронным охлаждением даже при использовании относительно толстой и тяжелой мишени.

Ионы будут также рассеиваться на ядрах атомов мишени. Однако, согласно формуле Резерфорда для кулоновских столкновений, сечение этого процесса в  $(M/m)^2$  раз меньше сечения рассеяния на электронах и оно будет определять лишь время жизни пучка для легких частиц [8]

$$\tau_t \simeq \frac{A^2 v_0^4 \Theta_g^2}{4\pi r_p^2 Z_i^2 Z_t n_t l_t f c^4},$$

где  $A$  — атомный вес иона,  $f$  — частота обращения ионов в накопителе,  $\Theta_g$  представляет собой предельно допустимый угол отклонения иона при столкновении с ядром.

Очевидно, эта величина не должна превышать значений, определяемых геометрическим акцептантом системы. Кроме того, необходимо, чтобы рассеянный ион на участке охлаждения попал в апертуру электронного пучка. Тогда под действием силы трения он восполнит потерянную энергию и вновь будет представлять интерес для прецизионных ядерно-физических экспериментов. Исходя из этого представляется целесообразным использовать более толстый электронный пучок, увеличивая тем самым  $\Theta_g$  и  $\tau_t$ . Такая процедура имеет смысл, если время охлаждения иона, выбитого на угол  $\Theta_g$ , меньше времени проведения ядерно-физического эксперимента  $\sim \tau_t$ . Полагая, к примеру,  $\tau_e \simeq 0.3\tau_t$ , из приведенных выше соотношений получаем  $\Theta_g \simeq 4$  мрад при  $Z_t \simeq 90$ ,

$n_t l_t \simeq 10^{14} \text{ см}^{-2}$ ,  $n_e \simeq 4 \cdot 10^8 \text{ см}^{-3}$ ,  $l_e = 3 \text{ м}$ ,  $L \simeq 10$ . Это соответствует диаметру электронного пучка 3 см. Для тяжелых ионов  $\tau_t$  определяется процессом перезарядки на атомах мишени. В этом случае рассеяние на ядрах может не рассматриваться.

Изменение радиуса электронного пучка  $r$  в различных режимах работы ускорительно-накопительного комплекса нежелательно по соображениям технического характера и не оправдано с физической точки зрения. Поэтому в работе [2] эта величина была выбрана равной 1.5 см независимо от условий проведения эксперимента. При работе со сверхтонкой внутренней мишенью приведенные выше требования к  $v_{\perp}$  относятся лишь к центральной части электронного пучка, пронизываемой керном ионного с  $r_i \leq 1.5 \text{ мм}$ . Теперь, если ускоряющее напряжение на пушке и плотность тока постоянны, то в первом приближении  $v_L$  и  $v_D$  линейно нарастают по радиусу пучка. Тогда на энергии проведения ядерно-физического эксперимента ( $W_i \simeq 200 \text{ МэВ/нуклон}$ ,  $W_e \simeq 110 \text{ кэВ}$ ,  $\beta \simeq 0.57$ ) для электронов на краю пучка получаем  $\alpha_g = v_{\perp r}/v_0 r_i \simeq 10 \text{ мрад}$ , где  $v_{\perp}$  принято равным  $10^7 \text{ см/с}$  (см. раздел 2).

Детальный анализ показывает, что изменение первоначала электронной пушки при переходе от цикла накопления к работе со сверхтонкой внутренней мишенью является неподобающим. Он ведет лишь к техническим усложнениям без существенного выигрыша по энергетическому разбросу ионного пучка. Используя соотношение (1) для оптимальной величины тока пучка электронов (см. раздел 2), несложно вычислить, что  $\alpha_m \simeq 6.2 \text{ мрад}$  при  $W_e \simeq 110 \text{ кэВ}$ .

4. Разработка электронных пушек с малым угловым разбросом скоростей представляет собой довольно сложную проблему как с математической, так и физической точек зрения. Развитые в настоящее время аналитические методы решения таких задач не обеспечивают необходимой точности расчетов [9]. В связи с этим широко применяется численное моделирование на ЭВМ [10]. Нами использовался пакет программ SAM, разработанный в Институте ядерной физики СО АН СССР [11], которые позволяют с высокой точностью рассчитывать значения  $\alpha = v_{\perp}/v_0$ ,  $v_{\perp} = v_L + v_D$ .

С физической точки зрения наибольшую сложность представляет рассеивающее действие анодного отверстия в инжекторе электронов, вызванное относительно большими значениями радиального электрического поля  $E_r$ , возникающего в этом месте. Расчеты показали, что в наших условиях квазипирсовская пушка обеспечивает следующие угловые разбросы скоростей:  $\alpha \simeq 2.4 \text{ мрад}$  при  $W_e = 3 \text{ кэВ}$ ,  $\alpha \simeq 17 \text{ мрад}$  при  $W_e = 26 \text{ кэВ}$ ,  $\alpha \simeq 60 \text{ мрад}$  при  $W_e = 110 \text{ кэВ}$ , т.е. в области десятков кэВ  $\alpha$  превышает необходимые значения почти на порядок величины. Здесь и в дальнейшем принято, что пушка погружена в продольное магнитное поле с индукцией  $B = 0.1 \text{ Тл}$ .

Для преодоления указанной сложности в настоящее время применяются инжекторы с „квазирезонансной“ [12] и „гладкой“ [13] оптикой. В первом случае, используя систему электродов, формируют П-образное распределение  $E_r$ , так чтобы длина этого участка равнялась шагу ларморовской спирали для электронов  $\lambda_e$ . Тогда электрон совершил в этой области полный цикл трохоиды и выйдет из нее с практически нулевыми поперечными скоростями. Однако такая пушка имеет существенный недостаток — условие резонанса выполняется в относительно узком диа-

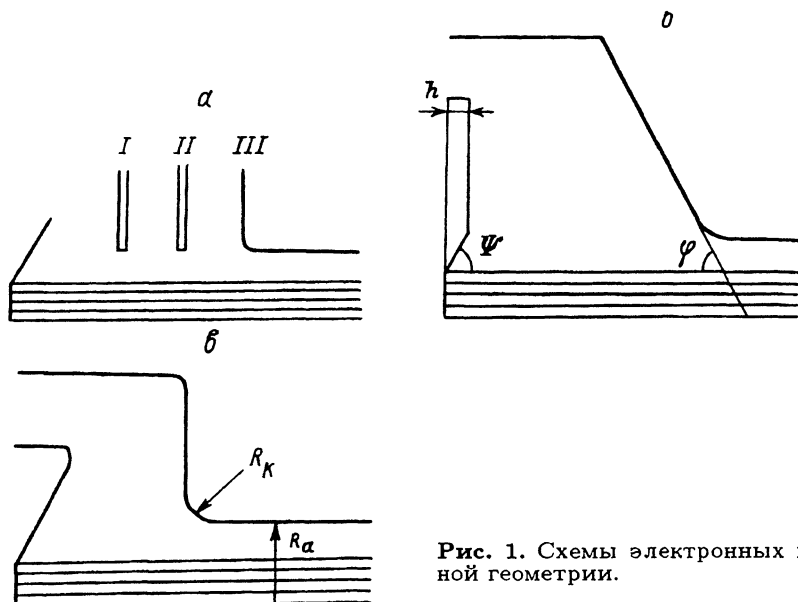


Рис. 1. Схемы электронных пушек различной геометрии.

пазоне токов пучка [13]. Применение квазирезонансной оптики в наших условиях представляется весьма проблематичным еще и потому, что при изменении энергии электронов с 3 до 110 кэВ шаг ларморовской спирали меняется от 1 до 7 см, что требует использования очень сложной системы электродов.

Суть гладкой оптики заключается в том, чтобы максимально возможно увеличить длину участка  $\Delta$  с отличным от нуля радиальным электрическим полем, так как в этом случае  $E_r \sim 1/\Delta$  [12]. Это достигается несколькими способами [12–14]. Во-первых, можно использовать геометрию пушки, показанную на рис. 1, а. Электрод  $I$  устанавливается на таком расстоянии от катода, когда распределение тока по сечению пучка остается еще почти однородным. На него подается потенциал, достаточный для вытягивания необходимой плотности тока электронов. Его величина находится в области нескольких кВ, что обеспечивает относительно малые значения  $E_r$ . Дальнейший темп ускорения пучка, определяемый напряжениями на электродах  $II$  и  $III$  и их местоположением, в значительной степени является произвольным. Это позволяет существенно увеличить значение  $\Delta$  и понизить  $E_r$ . Проведенные нами расчеты показали, что такого рода пушка обеспечивает угловые разбросы скоростей пучка электронов, приведенные в табл. 2.

Как видно, полученные величины  $\alpha < \alpha_g$  и весьма близки к минимально возможным значениям  $\alpha_m$ .

В работе [14] указывалось, что аналогичного эффекта можно добиться, используя более простую конструкцию пушки, приведенную на рис. 1, б. Однако физические принципы ее построения были рассмотрены недостаточно полно. В связи с этим нами были проведены расчеты, результаты которых приведены ниже.

5. Как следует из результатов разделов 2, 3 настоящей работы, наиболее жесткие требования к поперечному разбросу скоростей электронов предъявляются на энергии пучка 26 кэВ ( $\alpha_g \leq \alpha_m$ ). В связи с этим поиск

Таблица 2.

$W_e$ , кэВ	$\alpha$ , мрад
3	0.9
14	2.0
26	2.8
50	3.5
100	6.3

закономерностей в проектировании пушки проводился именно при этих значениях  $W_e$ .

Наиболее естественным подходом при решении этой проблемы представлялось проследить трансформацию угловых характеристик пучка начиная от оптики Пирса. Для этих целей была выбрана геометрия пушки, представленная на рис. 1,в. На рис. 2 показана зависимость углового разброса скоростей электронов от радиуса анодного отверстия  $R_a$  ( $R_K = 0$ ). Как видно, при изменении  $R_a$  с 1.6 до 3 см  $\alpha$  уменьшается почти на порядок и в дальнейшем практически не изменяется. Ток пучка при этом незначительно спадает. Оказалось, что аналогичного эффекта можно достичь, увеличивая радиус кривизны анодного электрода  $R_K$  до значений  $\sim 4 - 5$  см при  $R_a \approx 2$  см. Полученные зависимости не укладываются в представления об анодном отверстии как о тонкой линзе с фокусным расстоянием  $F \sim -6R_a$ . В этом случае следовало ожидать довольно гладкой зависимости  $\alpha$  от  $R_a$ . В связи с этим представлялось целесообразным проследить динамику движения электронов в пушке. На рис. 3 показано аксиальное распределение радиального электрического поля для  $R_a = 2; 4$  см. В первом случае  $E_r$  имеет вид резкого пика с полушириной  $\Delta < \lambda_e$ , а во втором — гладкой кривой с  $\Delta \approx 2 - 3\lambda_e$ . Двигаясь в таком поле, электрон испытывает сильный боковой удар, когда  $R_a = 2$  см. При радиусе анодного отверстия 4 см поперечный угловой разброс  $\alpha$  успевает релаксировать почти до нулевых значений, так как  $\Delta > \lambda_e$  (рис. 4). Наблюдаемые эффекты легко объяснить, если учесть, что анодное отверстие имеет острый край. Вблизи него  $E_r$  быстро нарастает, давая в пределе бесконечно острый и высокий пик. Увеличивая  $R_a$  или  $R_K$ , мы отодвигаем эту зону от края пучка и сглаживаем распределение радиального поля.

Расчеты показали, что геометрия анодной части пушки определяется в основном выбранными значениями  $R_a$ . При диаметре отверстия, близком к диаметру электронного пучка, необходимо использовать инжектор (рис. 1,б). В этом случае следует принять  $R_K \approx 4 - 5$  см и угол анодного конуса  $\varphi \approx 60^\circ$ . При  $R_a \geq 4$  см может использоваться конструкция, приведенная на рис. 1,в. Отметим, что при увеличении энергии пучка растет шаг ларморовской спирали электрона. С учетом этого факта следует принять  $R_a \approx 6$  см, чтобы обеспечить нормальную работу инжектора при  $W_e \approx 100$  кэВ. Обе конструкции пушки практически идентичны в смысле углового разброса скоростей электронов.

Рассмотрим влияние геометрии прикатодного электрода на величину  $\alpha$ . Как известно, наиболее сильный эффект в этой области связан с действием объемного заряда электронов. Для того чтобы радиальное электрическое поле на краю пучка отсутствовало, катод охватывают

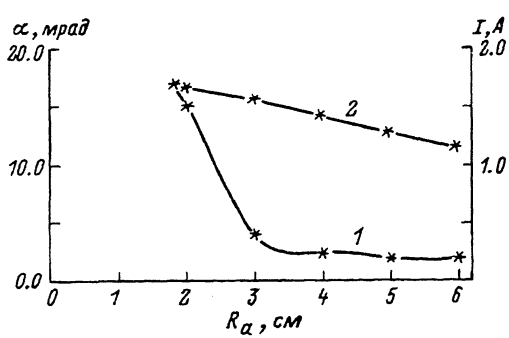


Рис. 2. Зависимости углового разброса скоростей (1) и тока пучка электронов (2) от радиуса анодного отверстия.

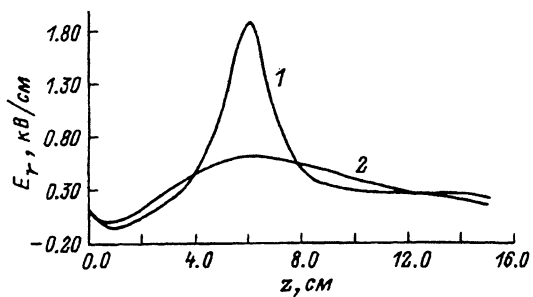


Рис. 3. Аксидальное распределение радиального электрического поля на краю пучка.

1,2 — значения радиуса анодного отверстия 2 и 4 см.

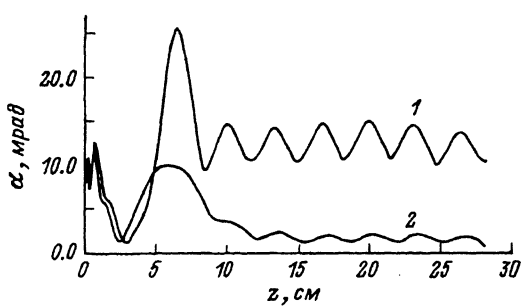


Рис. 4. Трансформация углового разброса скоростей пучка электронов по длине системы.

1,2 — то же, что и на рис. 3.

электродом, составляющим с ним угол  $67.5^\circ$  [15]. В условиях сильного сопровождающего магнитного поля требования к этому углу ослабеваются. Как следует из результатов расчетов, представленных на рис. 5, угловой разброс пучка остается практически постоянным в широком диапазоне значений  $\Psi$ . Тем не менее прикатодный угол следует выбрать близким к пирсовскому. Из всех значений  $\Psi$ , отвечающих минимальному угловому разбросу пучка, он обеспечивает наибольшую плотность тока электронов. В работе [14] отмечалось, что первенанс пучка повышается при уменьшении высоты прикатодного электрода. Это может быть использовано для увеличения расстояния анод-катод, что способствует разглаживанию аксиального распределения  $E_r$ . Наши расчеты показали, что, хотя это утверждение и является справедливым (рис. 6), уменьшение  $h$  ниже 0.7 см ведет к быстрому росту углового разброса пучка. Оптимальной представляется высота пирсовского электрода  $\sim 1$  см.

Результаты расчетов углового разброса пучка электронов для пушек (рис. 1, 6, 8) с учетом вышеизложенных фактов приведены в табл. 3.

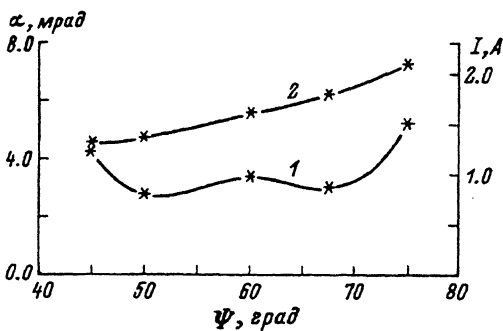


Рис. 5. Зависимости углового разброса скоростей (1) и тока пучка электронов (2) от угла прикатодного электрода.

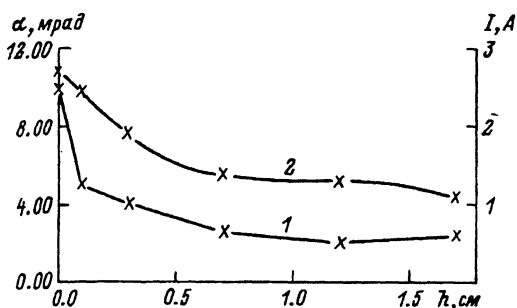


Рис. 6. Зависимость углового разброса скоростей (1) и тока пучка электронов (2) от высоты прикатодного электрода.

Таблица 3.

$W_e$ , кэВ	$\alpha$ , мрад
3	0.9
5.4	1.2
14	1.9
26	2.8
50	4.1
100	7.8

Как видно, значения  $\alpha$  слабо отличаются от соответствующих величин для многоэлектродной пушки (табл. 2), близки к  $\alpha_m$  и удовлетворяют условию  $\alpha < \alpha_g$ . В расчетах расстояние анод–катод принималось равным  $\sim 7$  см.

6. Таким образом, в работе определены требования к угловому разбросу пучка электронов как в цикле накопления, так и в процессе проведения ядерно-физического эксперимента. Численно исследованы закономерности в трансформации этой величины при изменении геометрии электронной пушки. Показано следующее.

а) Рассеивающее действие анодного отверстия связано в первую очередь с наличием у него острого края, вблизи которого радиальное электрическое поле быстро нарастает. Взаимодействие электрона с таким полем носит резонансный характер, когда полуширина пика  $E_r$  становится меньше длины шага ларморовской спирали. Устранение этого эффекта может достигаться путем увеличения как радиуса кривизны анода, так и диаметра отверстия.

б) В условиях сильного сопровождающего магнитного поля поперечный разброс скоростей электронов имеет практически одинаковые минимальные значения в довольно широком диапазоне углов прикатодного электрода. Однако максимальный первенец пушки в этом диапазоне достигается при выполнении геометрии Пирса.

в) Применение многоэлектродного инжектора, по крайней мере в наших условиях, не дает преимуществ по сравнению с диодной пушкой и ведет лишь к техническому усложнению конструкции.

### Список литературы

- [1] Ионные накопители с электронным охлаждением. Сборник предложений и проектов в СССР. М.: ИАЭ, 1990.
- [2] Valkov A.E., Dolinskij A.V., Zmendak A.W. et al. // Proc. of the Workshop of Electron Cooling and New Cooling Technique. Legnaro (Italy), 1990. P. 87-96.
- [3] Дербенев Я.С., Скринский А.Н. // Физика плазмы. 1978. Т. 4. № 3. С. 492-500.
- [4] Диканский Н.С., Кононов В.И., Куделайнен В.И. и др. Препринт ИЯФ. № 79-56. Новосибирск, 1979.
- [5] Feigerle C.S., Pierce D.T., Seiler H., Celotta R.J. // Appl. Phys. Lett. 1986. Vol. 44. P. 866.
- [6] Скринский А.Н., Пархомчук В.В. // ЭЧАЯ. 1981. Т. 12. № 3. С. 557-613.
- [7] Будкер Г.И., Скринский А.Н. // УФН. 1978. Т. 124. № 4. С. 561-594.
- [8] Rossi Б. Частицы больших энергий. М.: Гостехиздат, 1955.
- [9] Кирштейн П., Кайно Г., Уотерс У. Формирование электронных пучков. М.: Мир, 1970.
- [10] Proc. of the Workshop on Electron Cooling and Related Applications. Kernforschungszentrum Karlsruhe, 1984.
- [11] Тиунов М.А., Фомель Б.М., Яковлев В.П. Препринт ИЯФ. № 87-35. Новосибирск, 1987.
- [12] Куделайнен В.И., Мешков И.Н., Салимов Р.А. // ЖТФ. 1971. Т. 41. Вып. 11. С. 2294-2296.
- [13] Лебедев В.А., Шарана А.Н. // ЖТФ. 1987. Т. 57. Вып. 5 С. 975-977.
- [14] Андреева Т.Н., Мешков И.Н., Шарана А.Н., Шемякин А.В. // XIII Междунар. конф. по ускорителям частиц высоких энергий. Новосибирск: Наука, 1987. Т. 1. С. 351-352
- [15] Пирс Д.Р. Теория и расчет электронных пучков. М.: Сов. радио, 1956.

Институт ядерных исследований  
Киев

Поступило в Редакцию  
25 июня 1991 г.  
В окончательной редакции  
31 октября 1991 г.